

## Kinetyczna teoria gazów IV

Wykład ten jest wprowadzeniem do opisu zjawisk transportu. Wyliczone zostaną współczynniki przewodnictwa cieplnego i lepkości, a następnie wyprowadzone będą równania hydrodynamiki cieczy lepkiej. Wszystko to jednak zostanie poprzedzone omówieniem członu zderzeniowego równania kinetycznego w przybliżeniu czasu relaksacji, aby ułatwić znalezienie rozwiązania tego równania. Rozwiązanie to bowiem jest podstawą całości przedstawionych rozważań.

### Przybliżenie czasu relaksacji

Skomplikowana postać członu zderzeniowego niezwykle utrudnia stosowanie równania Boltzmana, więc poszukiwano różnych przybliżeń tego członu. Badać najprostszym jest przybliżenie czasu relaksacji, które tutaj omówimy.

- Człon zderzeniowy w przybliżeniu czasu relaksacji ma następującą postać

$$C(t, \mathbf{r}, \mathbf{p}) = \frac{1}{\tau} \left( f^{\text{eq}}(t, \mathbf{r}, \mathbf{p}) - f(t, \mathbf{r}, \mathbf{p}) \right), \quad (1)$$

gdzie parametr  $\tau$  nazywa się właśnie czasem relaksacji, a  $f^{\text{eq}}(t, \mathbf{r}, \mathbf{p})$  jest funkcją rozkładu lokalnej równowagi

$$f^{\text{eq}}(t, \mathbf{r}, \mathbf{p}) = \rho(t, \mathbf{r}) \left( \frac{2\pi}{mk_B T(t, \mathbf{r})} \right)^{3/2} \exp \left[ - \frac{(\mathbf{p} - m\mathbf{u}(t, \mathbf{r}))^2}{2mk_B T(t, \mathbf{r})} \right]. \quad (2)$$

- Aby uchwycić sens członu zderzeniowego (1), rozważymy układ, którego funkcja rozkładu zależy od czasu, lecz nie zależy od położenia. O funkcji równowagowej zakładamy, że też jest niezależna od czasu. Równaniem kinetycznym z członem zderzeniowym (1) jest wówczas

$$\frac{\partial f(t, \mathbf{p})}{\partial t} = \frac{f^{\text{eq}}(\mathbf{p}) - f(t, \mathbf{p})}{\tau}, \quad (3)$$

a rozwiązanie łatwo znajdujemy jako

$$f(t, \mathbf{p}) = \left( f(0, \mathbf{p}) - f^{\text{eq}}(\mathbf{p}) \right) e^{-\frac{t}{\tau}} + f^{\text{eq}}(\mathbf{p}). \quad (4)$$

Widzimy, że po czasie  $t \gg \tau$  układ osiąga równowagę, czyli  $f(t, \mathbf{p}) = f^{\text{eq}}(\mathbf{p})$ . Parametr  $\tau$  jest zatem charakterystycznym czasem zbliżania się układu do równowagi.

### Gruba ocena czasu relaksacji $\tau$

Aby człon zderzeniowy (1) był w pełni określony, należy podać choćby przybliżoną wartość liczbową czasu relaksacji.

- Najprościej ocenić  $\tau$  jako średni czas swobodnego przebiegu cząstki w gazie, który znajdujemy jako

$$\tau = \frac{\bar{l}}{\bar{v}}, \quad (5)$$

gdzie  $\bar{v}$  jest średnią prędkością cząstki gazu, a  $\bar{l}$  średnią drogą swobodnego przebiegu lub prościej średnią drogą swobodną.

- $\bar{v}$  ocenimy przyrównując energię kinetyczną cząstki o prędkości  $\bar{v}$ , czyli  $\frac{1}{2}m\bar{v}^2$ , z energią cieplną wynoszącą  $\frac{3}{2}k_B T$ , co daje

$$\bar{v} = \sqrt{\frac{3k_B T}{m}}. \quad (6)$$

- Aby wyznaczyć średnią drogę swobodną  $\bar{l}$ , rozważmy cząstkę, która właśnie doświadczyła zderzenia i pytamy po pokonaniu jakiej drogi cząstka zderzy się ponownie. Niech przekrój czynny na oddziaływanie cząstek gazu wynosi  $\sigma$ . Zderzenie nastąpi wówczas, gdy w cylindrze o polu podstawy  $\sigma$  i osi wzdłuż wektora prędkości cząstki znajdzie się inna cząstka gazu. A zatem średnią drogę swobodną  $\bar{l}$  wyznaczamy, żądając, aby w objętości cylindra o długości  $\bar{l}$  znalazła się jedna cząstka gazu tzn.  $\bar{l}\sigma\rho = 1$ , co daje

$$\bar{l} = \frac{1}{\rho\sigma} \quad (7)$$

- Podstawiając wzory (6, 7) do równania (5), otrzymujemy gruba ocenę czasu relaksacji

$$\tau = \frac{1}{\rho\sigma} \sqrt{\frac{m}{3k_B T}}. \quad (8)$$

Ze względu na mocno przybliżony charakter rozumowania prowadzącego do wzoru (8), nie należy przydawać istotnego znaczenia obecnemu w nim współczynnikowi liczbowemu.

### Dokładniejsza ocena czasu relaksacji $\tau$

- Dokładniejszą ocenę czasu relaksacji otrzymujemy przyrównując człon zderzeniowy Boltzmann do wyrażenia (1). Zakładamy bowiem, że zachodzi przybliżona równość

$$\frac{f^{\text{eq}}(\mathbf{p}) - f(t, \mathbf{r}, \mathbf{p})}{\tau} = \int \frac{d^3 p_1}{(2\pi)^3} d\Omega |\mathbf{v} - \mathbf{v}_1| \frac{d\sigma}{d\Omega} \left[ f(t, \mathbf{r}, \mathbf{p}') f(t, \mathbf{r}, \mathbf{p}'_1) - f(t, \mathbf{r}, \mathbf{p}) f(t, \mathbf{r}, \mathbf{p}_1) \right]. \quad (9)$$

Po obu stronach równania (9) są człony dodatnie i ujemne, więc żądamy

$$\frac{f(t, \mathbf{r}, \mathbf{p})}{\tau} = \int \frac{d^3 p_1}{(2\pi)^3} d\Omega |\mathbf{v} - \mathbf{v}_1| \frac{d\sigma}{d\Omega} f(t, \mathbf{r}, \mathbf{p}) f(t, \mathbf{r}, \mathbf{p}_1). \quad (10)$$

- Zakładając, że różniczkowy przekrój czynny słabo zależy od wielkości i kierunku pędu początkowego  $\mathbf{p} + \mathbf{p}_1$ , możemy wykonać całkowanie po kącie bryłowym, co upraszcza równość (10) do postaci

$$\frac{f(t, \mathbf{r}, \mathbf{p})}{\tau} = \frac{\sigma}{m} \int \frac{d^3 p_1}{(2\pi)^3} |\mathbf{p} - \mathbf{p}_1| f(t, \mathbf{r}, \mathbf{p}) f(t, \mathbf{r}, \mathbf{p}_1). \quad (11)$$

- Aby wyznaczyć  $\tau$ , można podzielić równość (11) obustronnie przez  $f(t, \mathbf{r}, \mathbf{p})$ , lecz wówczas uzyskany czas relaksacji  $\tau$  będzie zależał od  $\mathbf{p}$ . Czyni to pewnie tę wielkość bardziej realistyczną, lecz przybliżenie czasu relaksacji traci na prostocie. Postąpimy więc inaczej, całkując obie strony równości (11) po  $\mathbf{p}$ . Pamiętajając, że całkowanie po pędzie funkcji rozkładu daje gęstość, otrzymujemy

$$\frac{1}{\tau} = \frac{\sigma}{m\rho} \int \frac{d^3 p}{(2\pi)^3} \frac{d^3 p_1}{(2\pi)^3} |\mathbf{p} - \mathbf{p}_1| f(t, \mathbf{r}, \mathbf{p}) f(t, \mathbf{r}, \mathbf{p}_1). \quad (12)$$

- Przyjmiemy teraz, że funkcje rozkładu obecne w (12) mają postać równowagową tj.

$$f^{\text{eq}}(\mathbf{p}) = \rho \left( \frac{2\pi}{mk_B T} \right)^{3/2} \exp \left[ - \frac{\mathbf{p}^2}{2mk_B T} \right], \quad (13)$$

gdzie pominieliśmy prędkość unoszenia.

- Całkowanie we wzorze (12) najłatwiej wykonać wprowadzając zmienne środka masy:  $\mathbf{P} = \frac{1}{2}(\mathbf{p} + \mathbf{p}_1)$  i  $\mathbf{q} = \mathbf{p} - \mathbf{p}_1$ . Wówczas całki po  $\mathbf{P}$  i po  $\mathbf{q}$  faktoryzują się i otrzymujemy

$$\frac{1}{\tau} = \frac{\sigma \rho}{m} \left( \frac{2\pi}{mk_B T} \right)^3 \int \frac{d^3 P}{(2\pi)^3} \exp \left[ - \frac{\mathbf{P}^2}{mk_B T} \right] \int \frac{d^3 q}{(2\pi)^3} |\mathbf{q}| \exp \left[ - \frac{\mathbf{q}^2}{4mk_B T} \right] = 4\sigma \rho \sqrt{\frac{k_B T}{\pi m}}, \quad (14)$$

co ostatecznie daje

$$\tau = \frac{1}{4\rho\sigma} \sqrt{\frac{\pi m}{k_B T}}. \quad (15)$$

- Uwzględnivszy, że  $\frac{1}{\sqrt{3}} \approx 0.58$ , a  $\frac{\sqrt{\pi}}{4} \approx 0.44$ , oceny (8) i (15) są zaskakująco zgodne. W dalszych rachunkach jednak zignorujemy mało dokładny współczynnik liczbowy i posługiwać się będziemy prostą oceną

$$\tau = \frac{1}{\rho\sigma} \sqrt{\frac{m}{k_B T}}. \quad (16)$$

## Parametry azotu w warunkach normalnych

Aby zorientować się jakiego rzędu są rozważane parametry, przedstawimy ich wartości dla azotu w warunkach normalnych, czyli przy temperaturze  $0^\circ\text{C} = 273\text{ K}$  oraz ciśnieniu  $1\text{ atm} = 760\text{ mmHg}$ . Azot, który stanowi ok. 80% powietrza, występuje wówczas w postaci cząsteczek  $\text{N}_2$ , składających się z dwóch atomów najczęściej izotopu  $^{14}\text{N}$ , którego jądro tworzy siedem protonów i taka sama liczba neutronów.

- Gęstość masy azotu w warunkach normalnych wynosi  $1.25 \cdot 10^{-3}\text{ g cm}^{-3}$ .
- Masa atomu  $^{14}\text{N}$  to 14 jednostek masy atomowej  $u$  ( $u = 1.66 \cdot 10^{-24}\text{ g}$ ), czyli  $2.32 \cdot 10^{-23}\text{ g}$ . A zatem masa molekuly  $\text{N}_2$  wynosi  $m = 4.64 \cdot 10^{-23}\text{ g}$ .
- Gęstość cząsteczek  $\text{N}_2$  w warunkach normalnych równa jest  $\rho = 2.69 \cdot 10^{19}\text{ cm}^{-3}$ .
- Średnica  $a$  molekuly  $\text{N}_2$  wynosi ok.  $2.5\text{ \AA} = 2.5 \cdot 10^{-8}\text{ cm}$ . Ponieważ (klasyczny) przekrój czynny na zderzenie dwóch cząstek o średnicy  $a$  równy jest  $\sigma = \pi a^2$ , więc otrzymujemy  $\sigma = 2.0 \cdot 10^{-15}\text{ cm}^2$ .
- Średnia droga swobodna to  $\bar{l} = (\rho\sigma)^{-1} = 1.9 \cdot 10^{-5}\text{ cm}$ .
- Gdy  $T = 273\text{ K}$ , średnia prędkość molekuly wynosi  $\bar{v} = \sqrt{\frac{3k_B T}{m}} = 4.9 \cdot 10^4 \frac{\text{cm}}{\text{s}}$ , gdzie skorzystaliśmy z wartości  $k_B = 1.38 \cdot 10^{-16} \frac{\text{g cm}^2}{\text{s}^2 \text{K}}$ .
- Czas relaksacji równy jest  $\tau = \bar{l} \bar{v}^{-1} = 3.9 \cdot 10^{-10}\text{ s}$ .

## Rozwiązanie równania kinetycznego

Znajdziemy tutaj rozwiązanie równania kinetycznego, które będzie podstawą dalszych rozważań.

- Równanie kinetyczne z członem zderzeniowym (1) wygląda następująco

$$\left(\frac{\partial}{\partial t} + \mathbf{v} \cdot \nabla\right) f(t, \mathbf{r}, \mathbf{p}) = \frac{1}{\tau} \left(f^{\text{eq}}(t, \mathbf{r}, \mathbf{p}) - f(t, \mathbf{r}, \mathbf{p})\right). \quad (17)$$

- Ponieważ spodziewamy się, że rozwiązanie równania (17) dąży od lokalnej równowagi, więc będziemy poszukiwać go w postaci

$$f(t, \mathbf{r}, \mathbf{p}) = f^{\text{eq}}(t, \mathbf{r}, \mathbf{p}) + \delta f(t, \mathbf{r}, \mathbf{p}), \quad (18)$$

przy czym zakładamy, że

$$f^{\text{eq}}(t, \mathbf{r}, \mathbf{p}) \gg |\delta f(t, \mathbf{r}, \mathbf{p})|. \quad (19)$$

- Podstawiamy teraz funkcję (18) do równania (17), a ze względu na warunek (19) pomijamy  $\delta f$  po lewej stronie równania. W ten sposób otrzymujemy

$$\delta f(t, \mathbf{r}, \mathbf{p}) = -\tau D_{\mathbf{v}} f^{\text{eq}}(t, \mathbf{r}, \mathbf{p}), \quad (20)$$

gdzie pochodną substancjalną oznaczyliśmy jako

$$D_{\mathbf{v}} \equiv \frac{\partial}{\partial t} + \mathbf{v} \cdot \nabla. \quad (21)$$

- Obliczymy teraz prawą stronę równania (20)

$$D_{\mathbf{v}} f^{\text{eq}} = \frac{\partial f^{\text{eq}}}{\partial \rho} D_{\mathbf{v}} \rho + \frac{\partial f^{\text{eq}}}{\partial u^i} D_{\mathbf{v}} u^i + \frac{\partial f^{\text{eq}}}{\partial T} D_{\mathbf{v}} T, \quad (22)$$

gdzie uwzględniliśmy, że równowagowa funkcja rozkładu (2) zależy od  $\rho$ ,  $\mathbf{u}$  i  $T$ . Obliczając pochodne po  $\rho$ ,  $u^i$  i  $T$ , równanie (22) zapiszemy jako

$$\frac{D_{\mathbf{v}} f^{\text{eq}}}{f^{\text{eq}}} = \frac{1}{\rho} D_{\mathbf{v}} \rho + \frac{p^i - m u^i}{k_B T} D_{\mathbf{v}} u^i + \frac{1}{T} \left( \frac{(\mathbf{p} - m \mathbf{u})^2}{2m k_B T} - \frac{3}{2} \right) D_{\mathbf{v}} T. \quad (23)$$

- Założymy teraz, że ze względu na warunek (19) funkcje  $\rho$ ,  $\mathbf{u}$  i  $T$  spełniają równania hydrodynamiki idealnej

$$D_{\mathbf{u}} \rho + \rho \nabla \cdot \mathbf{u} = 0, \quad (24)$$

$$D_{\mathbf{u}} \mathbf{u} + \frac{1}{m \rho} \nabla p = 0, \quad (25)$$

$$D_{\mathbf{u}} T + \frac{2}{3} T \nabla \cdot \mathbf{u} = 0, \quad (26)$$

które pozwalają wyeliminować pochodne czasowe  $\rho$ ,  $\mathbf{u}$  i  $T$  z prawej strony równania (23). Po wykonaniu tego kroku i uwzględnieniu, że  $p = \rho k_B T$ , oraz zastąpieniu pędu  $\mathbf{p}$  prędkością  $\mathbf{v} \equiv \frac{\mathbf{p}}{m}$ , otrzymujemy

$$\begin{aligned} \frac{D_{\mathbf{v}} f^{\text{eq}}}{f^{\text{eq}}} &= \frac{m}{k_B T} \left( (v^i - u^i)(v^j - u^j) \nabla^j u^i - \frac{1}{3} (v^i - u^i)(v^i - u^i) \nabla^j u^j \right) \\ &+ \frac{1}{T} \left( \frac{m}{2k_B T} (v^i - u^i)(v^i - u^i) - \frac{5}{2} \right) (v^j - u^j) \nabla^j T. \end{aligned} \quad (27)$$

- Wynik (27) podstawiony do równania (20) ostatecznie daje

$$\begin{aligned} \delta f = & -\tau f^{\text{eq}} \left[ \frac{m}{k_B T} \left( (v^i - u^i)(v^j - u^j) \nabla^j u^i - \frac{1}{3} (v^i - u^i)(v^i - u^i) \nabla^j u^j \right) \right. \\ & \left. + \frac{1}{T} \left( \frac{m}{2k_B T} (v^i - u^i)(v^i - u^i) - \frac{5}{2} \right) (v^j - u^j) \nabla^j T \right]. \end{aligned} \quad (28)$$

W ten sposób znalezione zostało przybliżone rozwiązanie  $f = f^{\text{eq}} + \delta f$  równania kinetycznego (17).

## Warunki zgodności

Wykorzystanie równań hydrodynamiki idealnej (24, 25, 26) przy wyprowadzeniu poprawki (28) do równowagowej funkcji rozkładu sprawia, że poprawka ta spełnia trzy równania nazywane warunkami zgodności. Wyjaśnimy, o jakie warunki chodzi.

- Równowagowa funkcja rozkładu (2) wyrażona jest przez gęstość  $\rho$ , temperaturę  $T$  i prędkość  $\mathbf{u}$ , co, jak pamiętamy, sprawia, że

$$\rho(t, \mathbf{r}) = \int \frac{d^3 p}{(2\pi)^3} f^{\text{eq}}(t, \mathbf{r}, \mathbf{p}) = \rho(t, \mathbf{r}), \quad (29)$$

$$P^i(t, \mathbf{r}) = \int \frac{d^3 p}{(2\pi)^3} p^i f^{\text{eq}}(t, \mathbf{r}, \mathbf{p}) = m\rho(t, \mathbf{r}) u^i(t, \mathbf{r}), \quad (30)$$

$$\varepsilon(t, \mathbf{r}) = \int \frac{d^3 p}{(2\pi)^3} \epsilon_{\mathbf{p}} f^{\text{eq}}(t, \mathbf{r}, \mathbf{p}) = \frac{1}{2} m\rho(t, \mathbf{r}) \mathbf{u}^2(t, \mathbf{r}) + \frac{3}{2} \rho k_B T(t, \mathbf{r}). \quad (31)$$

- Okazuje się, że wielkości  $\rho$ ,  $T$  i  $\mathbf{u}$ , które wchodzi do równowagowej funkcji rozkładu (2), zachowują swój sens, tzn. zachodzą równości (29, 30, 31) również wtedy, gdy do równowagowej funkcji rozkładu dodamy poprawkę  $\delta f$ . Oznacza to zachodzenie następujących warunków zgodności:

$$\int \frac{d^3 p}{(2\pi)^3} f^{\text{eq}}(t, \mathbf{r}, \mathbf{p}) = \int \frac{d^3 p}{(2\pi)^3} f(t, \mathbf{r}, \mathbf{p}), \quad (32)$$

$$\int \frac{d^3 p}{(2\pi)^3} p^i f^{\text{eq}}(t, \mathbf{r}, \mathbf{p}) = \int \frac{d^3 p}{(2\pi)^3} p^i f(t, \mathbf{r}, \mathbf{p}), \quad (33)$$

$$\int \frac{d^3 p}{(2\pi)^3} \epsilon_{\mathbf{p}} f^{\text{eq}}(t, \mathbf{r}, \mathbf{p}) = \int \frac{d^3 p}{(2\pi)^3} \epsilon_{\mathbf{p}} f(t, \mathbf{r}, \mathbf{p}). \quad (34)$$

- Związki te powodują, że poprawka do funkcji rozkładu (28) nie wnosi wkładu do gęstości cząstek, pędu i energii, czyli

$$\int \frac{d^3 p}{(2\pi)^3} \delta f(t, \mathbf{r}, \mathbf{p}) = \int \frac{d^3 p}{(2\pi)^3} p^i \delta f(t, \mathbf{r}, \mathbf{p}) = \int \frac{d^3 p}{(2\pi)^3} \epsilon_{\mathbf{p}} \delta f(t, \mathbf{r}, \mathbf{p}) = 0. \quad (35)$$

- Można sprawdzić bezpośrednim rachunkiem, że warunki uzgodnienia (35) faktycznie zachodzą. W tym celu należy podstawić wyrażenie (28) do całek (35) i skorzystać z jawnej postaci równowagowej funkcji rozkładu (2).

- Pokażemy spełnienie pierwszego, najprostszego warunku (35). W tym celu obliczamy

$$\int \frac{d^3p}{(2\pi)^3} \delta f = -\tau\rho \left(\frac{m}{2\pi k_B T}\right)^{3/2} \int d^3w \exp\left[-\frac{m\mathbf{w}^2}{2k_B T}\right] \quad (36)$$

$$\times \left[ \frac{m}{k_B T} \left( w^i w^j \nabla^j u^i - \frac{1}{3} w^i w^i \nabla^j u^j \right) + \frac{1}{T} \left( \frac{m}{2k_B T} w^i w^i - \frac{5}{2} \right) w^j \nabla^j T \right],$$

gdzie podstawiliśmy równowagową funkcję rozkładu (2) i wprowadziliśmy zamiast pędu  $\mathbf{p}$  prędkość  $\mathbf{w} \equiv \mathbf{p}/m - \mathbf{u}$ .

- W dalszym dowodzie warunku zgodności, a także w innych przedstawianych tutaj obliczeniach, skorzystamy z łatwych do wyprowadzenia relacji

$$\int d^3w \exp\left[-\frac{m\mathbf{w}^2}{2k_B T}\right] w^i = 0, \quad (37)$$

$$\int d^3w \exp\left[-\frac{m\mathbf{w}^2}{2k_B T}\right] w^i w^j = (2\pi)^{3/2} \left(\frac{k_B T}{m}\right)^{5/2} \delta^{ij}, \quad (38)$$

$$\int d^3w \exp\left[-\frac{m\mathbf{w}^2}{2k_B T}\right] w^i w^j w^k = 0, \quad (39)$$

$$\int d^3w \exp\left[-\frac{m\mathbf{w}^2}{2k_B T}\right] \mathbf{w}^2 w^i w^j = 5(2\pi)^{3/2} \left(\frac{k_B T}{m}\right)^{7/2} \delta^{ij} \quad (40)$$

$$\int d^3w \exp\left[-\frac{m\mathbf{w}^2}{2k_B T}\right] \mathbf{w}^4 w^i w^j = 35(2\pi)^{3/2} \left(\frac{k_B T}{m}\right)^{9/2} \delta^{ij}, \quad (41)$$

$$\int d^3w \exp\left[-\frac{m\mathbf{w}^2}{2k_B T}\right] w^i w^j w^k w^l = (2\pi)^{3/2} \left(\frac{k_B T}{m}\right)^{7/2} (\delta^{ij} \delta^{kl} + \delta^{ik} \delta^{jl} + \delta^{il} \delta^{jk}). \quad (42)$$

- Uwzględniając równości (37, 38, 39), prawa strona równania (36) znika. Podobnie dowodzimy spełnienia pozostałych dwóch warunków (35).
- W przedstawionym sposobie postępowania, warunki zgodności (35) pojawiły się jako konsekwencja faktu spełniania przez  $\rho$ ,  $T$  i  $\mathbf{u}$  równań hydrodynamiki cieczy idealnej. Można jednak postąpić inaczej: zażądać zachodzenia warunków zgodności, a spełnianie równań hydrodynamiki idealnej przez  $\rho$ ,  $T$  i  $\mathbf{u}$  będzie konsekwencją tego żądania.

## Wielkości makroskopowe

W poprzednim wykładzie rozważyliśmy szczegółowo wielkości makroskopowe odpowiadające równowagowej funkcji rozkładu. Teraz określimy jakim modyfikacjom ulegają te wielkości po uwzględnieniu poprawki  $\delta f$  danej wzorem (28).

- Interesuje nas gęstość cząstek  $\rho$ , strumień cząstek  $\mathbf{j}$ , gęstość pędu  $P^i$ , strumień pędu  $\Pi^{ij}$ ,

gęstość energii  $\varepsilon$  i strumień energii  $\mathbf{I}$ . Jak pamiętamy, wielkości te, zdefiniowane następująco

$$\rho(t, \mathbf{r}) \equiv \int \frac{d^3p}{(2\pi)^3} f(t, \mathbf{r}, \mathbf{p}), \quad \mathbf{j}(t, \mathbf{r}) \equiv \int \frac{d^3p}{(2\pi)^3} \frac{\mathbf{p}}{m} f(t, \mathbf{r}, \mathbf{p}), \quad (43)$$

$$P^i(t, \mathbf{r}) \equiv \int \frac{d^3p}{(2\pi)^3} p^i f(t, \mathbf{r}, \mathbf{p}), \quad \Pi^{ij}(t, \mathbf{r}) \equiv \int \frac{d^3p}{(2\pi)^3} \frac{p^i p^j}{m} f(t, \mathbf{r}, \mathbf{p}), \quad (44)$$

$$\varepsilon(t, \mathbf{r}) \equiv \int \frac{d^3p}{(2\pi)^3} \epsilon_{\mathbf{p}} f(t, \mathbf{r}, \mathbf{p}), \quad \mathbf{I}(t, \mathbf{r}) \equiv \int \frac{d^3p}{(2\pi)^3} \frac{\mathbf{p}}{m} \epsilon_{\mathbf{p}} f(t, \mathbf{r}, \mathbf{p}), \quad (45)$$

spełniają trzy makroskopowe prawa zachowania, będące punktem wyjścia do wyprowadzenia równań hydrodynamiki.

- Warunki zgodności (35) sprawiają, że po dodaniu  $\delta f$  do  $f^{\text{eq}}$  nie ulegają zmianie: gęstość cząstek  $\rho$ , strumień cząstek  $\mathbf{j}$ , gęstość pędu  $P^i$  i gęstość energii  $\varepsilon$ . Możemy więc przepisać znane już relacje

$$\mathbf{j} = \rho \mathbf{u}, \quad \mathbf{P} = m\rho \mathbf{u}, \quad \varepsilon = \frac{1}{2}m\rho \mathbf{u}^2 + \frac{3}{2}\rho k_B T. \quad (46)$$

- Strumienie pędu  $\Pi^{ij}$  i energii  $\mathbf{I}$  zmieniają się, więc piszemy

$$\Pi^{ij} = m\rho u^i u^j + \delta^{ij} \rho k_B T + \delta \Pi^{ij}, \quad (47)$$

$$\mathbf{I} = \frac{1}{2}m\rho \mathbf{u}^3 + \frac{5}{2}\rho \mathbf{u} k_B T + \delta \mathbf{I}, \quad (48)$$

gdzie  $\delta \Pi^{ij}$  i  $\delta \mathbf{I}$  są wkładami, zwanymi dyssypatywnymi, do, odpowiednio, strumienia pędu i strumienia energii pochodzącymi od  $\delta f$ .

- Dyssypacja to zjawisko, w którym przekaz energii ma charakter nieodwracalnego procesu termodynamicznego, więc towarzyszy mu produkcja entropii. Typowym przykładem zjawiska dyssypatywnego jest wszechobecne tarcie. Wkrótce się wyjaśni, dlaczego wielkości  $\delta \Pi^{ij}$  i  $\delta \mathbf{I}$  określiliśmy tym terminem.

## Dyssypatywny strumień energii

- Obliczymy teraz dyssypatywny strumień energii określony jako

$$\delta \mathbf{I} \equiv \int \frac{d^3p}{(2\pi)^3} \frac{\mathbf{p}}{m} \epsilon_{\mathbf{p}} \delta f. \quad (49)$$

- Podstawiając  $\delta f$  dane wzorem (28) do formuły (49) dostajemy

$$\begin{aligned} \delta \mathbf{I} = & -\frac{\tau \rho m^4}{2^{5/2} (\pi m k_B T)^{3/2}} \int d^3w (\mathbf{w} + \mathbf{u})^3 \exp \left[ -\frac{m \mathbf{w}^2}{2k_B T} \right] \\ & \times \left[ \frac{m}{k_B T} \left( w^i w^j \nabla^j u^i - \frac{1}{3} \mathbf{w}^2 \nabla^j u^j \right) + \frac{1}{T} \left( \frac{m}{2k_B T} \mathbf{w}^2 - \frac{5}{2} \right) w^j \nabla^j T \right], \end{aligned} \quad (50)$$

gdzie zamiast pędu  $\mathbf{p}$  wprowadziliśmy prędkość  $\mathbf{w} \equiv \mathbf{p}/m - \mathbf{u}$ . Pomijając człony będące nieparzystymi funkcjami  $\mathbf{w}$ , które znikają po wykonaniu całkowania, strumień (50) zapisujemy jako sumę

$$\delta \mathbf{I} = \delta \mathbf{I}_1 + \delta \mathbf{I}_2 + \delta \mathbf{I}_3 + \delta \mathbf{I}_4, \quad (51)$$

gdzie

$$\delta\mathbf{I}_1 \equiv -\frac{\tau\rho m^4}{2^{5/2}(\pi m k_B T)^{3/2}T} \int d^3w \mathbf{w}^3 \exp\left[-\frac{m\mathbf{w}^2}{2k_B T}\right] \left(\frac{m}{2k_B T} \mathbf{w}^2 - \frac{5}{2}\right) w^j \nabla^j T, \quad (52)$$

$$\delta\mathbf{I}_2 \equiv -\frac{3\tau\rho m^5 \mathbf{u}}{2^{5/2}(\pi m)^{3/2}(k_B T)^{5/2}} \int d^3w \mathbf{w}^2 \exp\left[-\frac{m\mathbf{w}^2}{2k_B T}\right] \left(w^i w^j \nabla^j u^i - \frac{1}{3} \mathbf{w}^2 \nabla^j u^j\right), \quad (53)$$

$$\delta\mathbf{I}_3 \equiv -\frac{3\tau\rho m^4 \mathbf{u}^2}{2^{5/2}(\pi m k_B T)^{3/2}T} \int d^3w \mathbf{w} \exp\left[-\frac{m\mathbf{w}^2}{2k_B T}\right] \left(\frac{m}{2k_B T} \mathbf{w}^2 - \frac{5}{2}\right) w^j \nabla^j T, \quad (54)$$

$$\delta\mathbf{I}_4 \equiv -\frac{\tau\rho m^5 \mathbf{u}^3}{2^{5/2}(\pi m)^{3/2}(k_B T)^{5/2}} \int d^3w \exp\left[-\frac{m\mathbf{w}^2}{2k_B T}\right] \left(w^i w^j \nabla^j u^i - \frac{1}{3} \mathbf{w}^2 \nabla^j u^j\right). \quad (55)$$

- Wykorzystując formuły (37-41) znajdujemy

$$\delta\mathbf{I}_1 = -\frac{5}{2}\tau\rho k_B^2 T \nabla T, \quad \delta\mathbf{I}_2 = \delta\mathbf{I}_3 = \delta\mathbf{I}_4 = 0, \quad (56)$$

co ostatecznie daje

$$\delta\mathbf{I} = -\frac{5}{2}\tau\rho k_B^2 T \nabla T. \quad (57)$$

Widzimy, że do dyssypatywnego strumienia energii wnosi wkład gradient temperatury, nie wnosi natomiast gradient prędkości, choć oba są obecne w wyrażeniu na  $\delta f$ . Wyrównywanie się temperatur jest procesem nieodwracalnym, co uzasadnia właśnie stosowanie terminu strumień *dyssypatywny*.

## Przewodnictwo ciepła

- Po podstawieniu wyrażenia (57) do wzoru (48) znajdujemy całkowity strumień energii

$$\mathbf{I} = \frac{1}{2}m\rho \mathbf{u}^3 + \frac{5}{2}\rho \mathbf{u} k_B T - \frac{5}{2}\tau\rho k_B^2 T \nabla T. \quad (58)$$

Pierwsze dwa człony formuły (84) odpowiadają transportowi energii powodowanemu niezerową prędkości unoszenia  $\mathbf{u}$ , który zamiera, gdy  $\mathbf{u} = 0$ . Strumieniem ciepła  $\mathbf{q}$  nazywamy przepływ energii na skutek występowania gradientu temperatury. A zatem mamy

$$\mathbf{q} = -\frac{5}{2}\tau\rho k_B^2 T \nabla T. \quad (59)$$

Zauważmy, że zgodnie z oczekiwaniami przepływ energii następuje w kierunku zmniejszania się temperatury, bowiem współczynnik  $\tau\rho k_B^2 T$  jest dodatni.

- Równanie (59) zgadza się ustanowioną na drodze eksperymentalnej prawidłowością, zwaną prawem Fouriera, że przepływ ciepła  $\mathbf{q}$  jest proporcjonalny do gradientu temperatury tj.

$$\mathbf{q} = -\kappa \nabla T, \quad (60)$$

gdzie  $\kappa$  jest współczynnikiem przewodnictwa cieplnego.



- Porównując równanie (59) z równaniem (60), znajdujemy współczynnik  $\kappa$  jako

$$\kappa = \frac{5}{2} \tau \rho k_B^2 T, \quad (61)$$

który po uwzględnieniu oceny czasu relaksacji (16) przybiera postać

$$\kappa = \frac{5 k_B \sqrt{m k_B T}}{2 \sigma}. \quad (62)$$

Wyróżniająca cechą współczynnika  $\kappa$  jest jego niezależność od gęstości gazu i pierwiastkowa zależność od temperatury. Przewodnictwo cieplne rozrzedzonych gazów rzeczywiście wykazuje takie zachowanie.

### Dyssypatywny strumień pędu

- Obliczymy teraz dyssypatywny strumień pędu określony jako

$$\delta \Pi^{ij} \equiv \int \frac{d^3 p}{(2\pi)^3} \frac{p^i p^j}{m} \delta f. \quad (63)$$

- Podstawiając  $\delta f$  dane wzorem (28) do formuły (63) dostajemy

$$\begin{aligned} \delta \Pi^{ij} = & -\frac{\tau \rho m^4}{(2\pi m k_B T)^{3/2}} \int d^3 w (w^i + u^i)(w^j + u^j) \exp \left[ -\frac{m \mathbf{w}^2}{2k_B T} \right] \\ & \times \left[ \frac{m}{k_B T} \left( w^k w^l \nabla^l u^k - \frac{1}{3} \mathbf{w}^2 \nabla^k u^k \right) + \frac{1}{T} \left( \frac{m}{2k_B T} \mathbf{w}^2 - \frac{5}{2} \right) w^k \nabla^k T \right], \end{aligned} \quad (64)$$

gdzie zamiast pędu  $\mathbf{p}$  wprowadziliśmy prędkość  $\mathbf{w} \equiv \mathbf{p}/m - \mathbf{u}$ . Pomijając człony będące nieparzystymi funkcjami  $\mathbf{w}$ , które znikają po wykonaniu całkowania, strumień (64) zapisujemy jako sumę

$$\delta \Pi^{ij} = \delta \Pi_1^{ij} + \delta \Pi_2^{ij} + \delta \Pi_3^{ij} + \delta \Pi_4^{ij}, \quad (65)$$

gdzie

$$\delta \Pi_1^{ij} = -\frac{\tau \rho m^{7/2}}{(2\pi)^{3/2} (k_B T)^{5/2}} \int d^3 w \exp \left[ -\frac{m \mathbf{w}^2}{2k_B T} \right] w^i w^j \left( w^k w^l \nabla^l u^k - \frac{1}{3} \mathbf{w}^2 \nabla^k u^k \right), \quad (66)$$

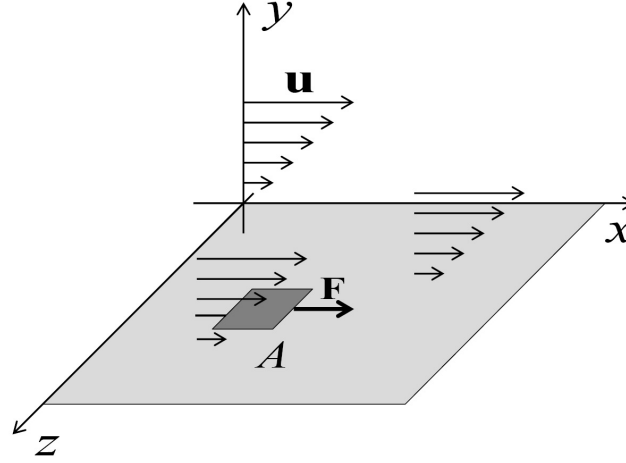
$$\delta \Pi_2^{ij} = -\frac{\tau \rho m^{5/2} u^j}{(2\pi)^{3/2} (k_B T)^{3/2} T} \int d^3 w \exp \left[ -\frac{m \mathbf{w}^2}{2k_B T} \right] \left( \frac{m}{2k_B T} \mathbf{w}^2 - \frac{5}{2} \right) w^i w^k \nabla^k T, \quad (67)$$

$$\delta \Pi_3^{ij} = -\frac{\tau \rho m^{5/2} u^i}{(2\pi)^{3/2} (k_B T)^{3/2} T} \int d^3 w \exp \left[ -\frac{m \mathbf{w}^2}{2k_B T} \right] \left( \frac{m}{2k_B T} \mathbf{w}^2 - \frac{5}{2} \right) w^j w^k \nabla^k T, \quad (68)$$

$$\delta \Pi_4^{ij} = -\frac{\tau \rho m^{7/2} u^i u^j}{(2\pi)^{3/2} (k_B T)^{5/2}} \int d^3 w \exp \left[ -\frac{m \mathbf{w}^2}{2k_B T} \right] \left( w^k w^l \nabla^l u^k - \frac{1}{3} \mathbf{w}^2 \nabla^k u^k \right). \quad (69)$$

- Wykorzystując formuły (37-42) znajdujemy

$$\delta \Pi_1^{ij} = -\tau \rho k_B T \left[ \nabla^i u^j + \nabla^j u^i - \frac{2}{3} \delta^{ij} \nabla^k u^k \right], \quad (70)$$



Rysunek 1: Schemat konfiguracji służącej zdefiniowaniu współczynnika lepkości.

$$\delta\Pi_2^{ij} = \delta\Pi_3^{ij} = \delta\Pi_4^{ij} = 0, \quad (71)$$

co ostatecznie daje

$$\delta\Pi^{ij} = -\tau\rho k_B T \left[ \nabla^i u^j + \nabla^j u^i - \frac{2}{3} \delta^{ij} \nabla^k u^k \right]. \quad (72)$$

Widzimy, że do dyssypatywnego strumienia pędu wnosi wkład gradient prędkości, nie wnosi zaś gradient temperatury, choć oba są obecne w wyrażeniu na  $\delta f$ . Transport pędu powoduje wyrównywanie się prędkości czemu towarzyszy tarcie. Jest to proces nieodwracalny, co uzasadnia użycie terminu strumień *dyssypatywny*.

- Całkowity strumień pędu  $\Pi^{ij}$  wynosi

$$\Pi^{ij} = m\rho u^i u^j + \delta^{ij} \rho k_B T - \tau\rho k_B T \left[ \nabla^i u^j + \nabla^j u^i - \frac{2}{3} \delta^{ij} \nabla^k u^k \right]. \quad (73)$$

## Lepkość

- Rozważmy pokazany na Rys. 1 schemat przepływu gazu. Hydrodynamiczna prędkość skierowana jest wzdłuż osi  $x$  tzn.  $\mathbf{u} = (u_x, 0, 0)$ , przy czym zakładamy, że  $u_x$  zależy od współrzędnej  $y$ , jest natomiast niezależna od  $z$ .
- Badając doświadczalnie przepływy gazów i cieczy w takiej konfiguracji, stwierdzono, że siła tarcia  $F$  działająca wzdłuż osi  $x$  na jednostkową powierzchnię  $A$  znajdującą w płaszczyźnie  $xz$  (patrz Rys. 1) jest proporcjonalna do gradientu prędkości przepływu, czyli

$$\frac{F}{A} = -\eta \frac{\partial u_x}{\partial y}, \quad (74)$$

gdzie stała proporcjonalności  $\eta$  nosi nazwę współczynnika lepkości.

- Składowa strumienia pędu  $\Pi^{xy}$  jest równa pędowi skierowanemu wzdłuż osi  $x$  przeniesionemu w kierunku osi  $y$  w jednostce czasu przez jednostkową powierzchnię w płaszczyźnie  $xz$ . Innymi słowy jest to siła działająca wzdłuż osi  $x$  na jednostkę powierzchni w płaszczyźnie  $xz$ . A zatem,  $\Pi^{xy} = F/A$ .

- Skoro  $\mathbf{u} = (u_x, 0, 0)$ , to ze wzoru (73) odczytujemy

$$\Pi^{xy} = -\tau\rho k_B T \frac{\partial u_x}{\partial y} \quad (75)$$

i stwierdzamy, że

$$\eta = \tau\rho k_B T. \quad (76)$$

- Po uwzględnieniu oceny czasu relaksacji (16), współczynnik lepkości wynosi

$$\eta = \frac{\sqrt{mk_B T}}{\sigma}. \quad (77)$$

Nie zależy on od gęstości gazu i rośnie jak pierwiastek kwadratowy z temperatury.

- Porównując współczynnik przewodnictwa cieplnego (61) do współczynnika lepkości (76), znajdujemy relację

$$\frac{\kappa}{k_B \eta} = \frac{5}{2}, \quad (78)$$

potwierdzaną przez eksperyment.

## Hydrodynamika cieczy lepkiej

Poprzednio wyprowadziliśmy równania hydrodynamiki cieczy idealnej. Teraz uwzględnimy poprawki wynikające z istnienia dyssypatywnych wkładów do strumienia pędu i ciepła.

- Równania hydrodynamiki cieczy lepkiej otrzymujemy, wstawiając do omówionych już wcześniej trzech makroskopowych praw zachowania

$$\frac{\partial \rho(t, \mathbf{r})}{\partial t} + \nabla \cdot \mathbf{j}(t, \mathbf{r}) = 0, \quad (79)$$

$$\frac{\partial P^i(t, \mathbf{r})}{\partial t} + \nabla^j \Pi^{ij}(t, \mathbf{r}) = 0, \quad (80)$$

$$\frac{\partial \varepsilon(t, \mathbf{r})}{\partial t} + \nabla \cdot \mathbf{I}(t, \mathbf{r}) = 0, \quad (81)$$

gęstość cząstek  $\rho$ , strumień cząstek  $\mathbf{j}$ , gęstości pędu  $P^i$  i energii  $\varepsilon$  dane wzorami

$$\mathbf{j} = \rho \mathbf{u}, \quad \mathbf{P} = m\rho \mathbf{u}, \quad \varepsilon = \frac{1}{2}m\rho \mathbf{u}^2 + \frac{3}{2}\rho k_B T \quad (82)$$

oraz strumienie pędu  $\Pi^{ij}$  i energii  $\mathbf{I}$

$$\Pi^{ij} = m\rho u^i u^j + \delta^{ij} \rho k_B T - \eta \left[ \nabla^i u^j + \nabla^j u^i - \frac{2}{3} \delta^{ij} \nabla^k u^k \right], \quad (83)$$

$$\mathbf{I} = \frac{1}{2}m\rho \mathbf{u}^3 + \frac{5}{2}\rho \mathbf{u} k_B T - \kappa \nabla T, \quad (84)$$

w których pojawiły się współczynniki transportu  $\kappa$  i  $\eta$ .

- Pierwsze równanie, wyrażające zachowanie liczby cząstek, jest takie samo jak w przypadku hydrodynamiki cieczy idealnej, bowiem gęstość cząstek  $\rho$  i ich strumień  $\mathbf{j}$  nie są modyfikowane przez wkłady dyssypatywne. A zatem mamy

$$\left( \frac{\partial}{\partial t} + \mathbf{u} \cdot \nabla \right) \rho + \rho \nabla \cdot \mathbf{u} = 0. \quad (85)$$

- Podstawiając gęstość i strumień pędu (82, 83) do równania ciągłości (80) dostajemy, wykorzystawszy równość (85), słynne równanie Navier–Stokesa<sup>1</sup>

$$\left(\frac{\partial}{\partial t} + \mathbf{u} \cdot \nabla\right)\mathbf{u} + \frac{1}{m\rho}\nabla\left(p - \frac{\eta}{3}\nabla \cdot \mathbf{u}\right) - \frac{\eta}{m\rho}\nabla^2\mathbf{u} = 0, \quad (86)$$

w którym  $p$  jest ciśnieniem danym w rozważanym przypadku przez równanie stanu gazu doskonałego

$$p = \rho k_B T. \quad (87)$$

- Równanie Navier–Stokesa, które przechodzi w równanie Eulera, gdy  $\eta = 0$ , stanowi fundament mechaniki płynów. Choć wyprowadzone tutaj dla rozrzedzonego gazu, obszar jego stosowalności obejmuje również ciecze. Proste na pozór równanie Navier–Stokesa (86) jest tak w rzeczywistości złożone, głównie ze względu na nieliniowy charakter, że nawet w przypadku nieściśliwego płynu, kiedy  $\nabla \cdot \mathbf{u} = 0$ , nie są znane jego ogólne rozwiązania. Równanie przewiduje występowanie w pewnych warunkach turbulencji - chaotycznego przepływu cieczy lepkiej. Przypuszcza się, że tajemnica tego wciąż słabo rozumianego zjawiska skryta jest właśnie w strukturze równania (86).
- Podstawiając gęstość energii (82) i strumień energii (84) do równania ciągłości (81), otrzymujemy równanie

$$\left(\frac{\partial}{\partial t} + \mathbf{u} \cdot \nabla\right)T + \frac{2}{3}T\nabla \cdot \mathbf{u} - \frac{2\kappa}{3\rho}\nabla^2 T = 0. \quad (88)$$

Aby je uzyskać, skorzystaliśmy z równań (85, 86).

- Jeśli w równaniu (88) położyć  $\mathbf{u} = 0$ , otrzymujemy znane równanie przewodnictwa cieplnego

$$\left(\frac{\partial}{\partial t} - \alpha\nabla^2\right)T = 0, \quad (89)$$

gdzie  $\alpha \equiv \frac{2\kappa}{3\rho}$ . Równanie (89) ma identyczną postać jak równanie dyfuzji, w którym  $T$  reprezentuje gęstość dyfundujących cząstek, a  $\alpha$  jest stałą dyfuzji. W odróżnieniu od (88), równanie (89) można łatwo rozwiązać.

- Równania (85, 86, 88), których w sumie jest pięć, tworzą układ równań hydrodynamiki cieczy lepkiej. Wchodzi do nich sześć nieznanymi funkcji czasu i położenia:  $\rho, \mathbf{u}, p, T$ , więc należy jeszcze dodać równanie stanu (87), żeby układ równań domknąć.
- Analiza równań (85, 86, 88) i poszukiwanie ich rozwiązań jest domeną nader obszernej dziedziny wiedzy jaką jest mechanika ośrodków ciągłych. Nie będziemy się w nią tutaj zagłębiać. Naszym głównym celem było pokazanie, że teoria kinetyczna umożliwia wyprowadzenie równań hydrodynamiki, tak cieczy idealnej, jak i lepkiej.

<sup>1</sup>Nazwa równania pochodzi od nazwisk Claude'a-Louis Navier (1785 - 1836) - francuskiego inżyniera i fizyka oraz George'a Gabriela Stokes (1819 - 1903) - brytyjskiego matematyka i fizyka.